

Перемещение и локализация прозрачной наносферы силами светового давления в поле сфокусированного лазерного пучка

А.А.Афанасьев, Д.В.Новицкий

Приведены результаты численного моделирования уравнения Ланжевена, описывающего движение прозрачной наносферы под действием результирующей силы светового давления в поле непрерывного сфокусированного лазерного пучка гауссовой формы. Определены условия локализации наносферы вблизи фокальной перетяжки фокусируемого линзой пучка. Найдено аналитическое решение приближенного (укороченного) уравнения движения, которое практически точно совпадает с результатами численного моделирования исходного уравнения.

Ключевые слова: наносфера, фокусировка лазерного пучка, силы светового давления, уравнение Ланжевена, локализация наносферы.

1. Введение

Впервые оптическое перемещение и левитацию пластмассовых частиц малых размеров под действием сил светового давления с использованием непрерывных лазеров продемонстрировал А.Эшкин [1, 2]. После его работ на стыке оптики, механики и лазерной физики сформировалось и получило интенсивное развитие направление, связанное с манипуляцией малыми частицами лазерным излучением. Эффект действия сил светового давления на малые частицы, приводящий к их перемещению, находит интересные практические применения в различных технологиях и, в частности, в медицинских и биологических. Созданное авторами [3, 4] устройство для перемещения малых частиц и биологических объектов с помощью сил светового давления (так называемый лазерный пинцет) применяется в медицине и биологии при исследовании вирусов и бактерий [5], молекул ДНК [6], процессов, протекающих в живых клетках [7], и т. д.

Помимо медико-биологических приложений силы светового давления могут использоваться для записи концентрационных решеток в жидкой суспензии взвешенных пластмассовых частиц малых размеров [8]. Такие суспензии имеют большие значения оптического коэффициента Керра и могут применяться в качестве высокоэффективных нелинейных сред для четырехволнового смешения [9, 10] и вынужденного концентрационного (диффузного) рассеяния [11–13]. Силы светового давления также используются для охлаждения и локализации атомов, коллапсации и управления атомными пучками, что может служить дополнительным инструментом в экспериментальной атомной физике (см. напр., [14]).

В экспериментах по манипуляции малыми частицами с помощью сил светового давления для повышения ин-

тенсивности излучения обычно применяются сфокусированные лазерные пучки [1, 2]. В [15] теоретически исследованы силы светового давления, действующие на прозрачную наносферу, находящуюся на оси сфокусированного гауссова пучка, и найдено выражение для результирующей силы, на основе которого предсказана возможность локализации наносферы с определенными размерами и оптическими свойствами вблизи фокальной области используемой линзы.

В настоящей работе на основе уравнения Ланжевена исследовано движение наносферы в поле непрерывного сфокусированного лазерного пучка и теоретически продемонстрирован эффект ее локализации вблизи фокальной области линзы.

2. Анализ результирующей силы

В лазерном пучке на прозрачную наносферу действуют две компоненты силы светового давления: F_{scat} – компонента, обусловленная рассеянием излучения и действующая в направлении распространения пучка, и F_{∇} – градиентная компонента, связанная с неоднородностью излучения ($F_{\nabla\perp}$ – составляющая силы, действующая поперек пучка, и $F_{\nabla z}$ – составляющая силы, действующая вдоль его оси z). В случае $\bar{m} = n_0/n > 1$ (n_0 и n – показатели преломления материала наносферы и окружающей жидкости соответственно) поперечная составляющая градиентной силы $F_{\nabla\perp}$ будет способствовать удержанию наносферы на оси пучка z .

На рис.1 приведена схема фокусировки лазерного пучка линзой с фокусным расстоянием f .

В рассматриваемом случае результирующая сила $F_z = F_{\text{scat}} + F_{\nabla z}$, действующая на наносферу, находящуюся на оси z пучка, определяется выражением [15]

$$F_z = e_z F_0 \frac{K[(1 - zf)^2 + (z/z_d)^2] + 2(1 - z/z_w)}{f[(1 - zf)^2 + (z/z_d)^2]^2}, \quad (1)$$

где $F_0 = 2\pi(n/c)\alpha I_0$; $K = 4k^4\alpha f/3$; $z_d = kr_0^2$ – дифракционная длина пучка со входным радиусом r_0 ; k – волновое число; I_0 – интенсивность пучка;

А.А.Афанасьев, Д.В.Новицкий. Институт физики им. Б.И.Степанова НАНБ, Беларусь, 220072 Минск, просп. Независимости, 68; e-mail: dvnovitsky@gmail.com

Поступила в редакцию 31 января 2017 г., после доработки – 19 апреля 2017 г.

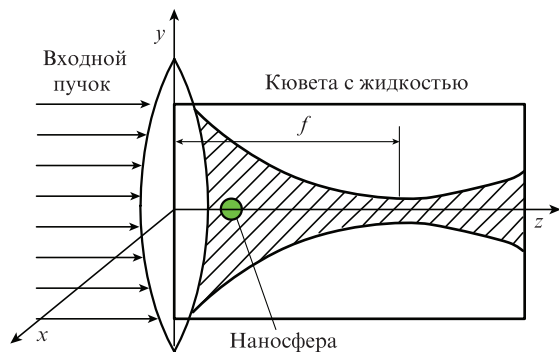


Рис.1. Схема фокусировки гауссова пучка линзой с фокусным расстоянием f в кювету с жидкостью, в которую погружена наносфера.

$$\alpha = \frac{\bar{m}^2 - 1}{\bar{m}^2 + 2} R^3 \equiv \alpha_0 R^3$$

– поляризуемость наносферы радиусом R ;

$$z_w = \frac{f}{1 + (f/z_d)^2}$$

– координата точки перетяжки пучка.

Используя результаты работы [15], приведем некоторые характерные особенности результирующей силы F_z , которые потребуются в дальнейшем.

Из (1) следует, что при $\alpha_0 > 0$ продольная компонента градиентной силы $F_{\nabla z} \propto 1 - z/z_w$ в области $z < z_w$ сонаправлена с силой рассеяния $F_{\text{scat}} \propto K$. В точке перетяжки $z = z_w$ она равна нулю, а в области $z > z_w$ – меняет направление на противоположное. В [15] показано, что при условии $\Gamma = Kz_w/z_d \leq 1$ в области

$$z_w + \frac{f}{K}(1 - \sqrt{1 - \Gamma^2}) \leq z \leq z_w + \frac{f}{K}(1 + \sqrt{1 - \Gamma^2}) \quad (2)$$

результирующая сила $F_z \leq 0$. Из соотношения $\Gamma = 1$ находится критический радиус наносферы

$$R_f = \sqrt[3]{\frac{3z_d}{4k^4 z_w f \alpha_0}}, \quad (3)$$

при котором $F_z = 0$ в точке $z = z_w + f/K$. Таким образом, наносферы с $R \leq R_f$ могут локализоваться в области (2). Например, для наносферы из латекса в воде ($n_0 = 1.58, n = 1.33$) при $f = 2$ см, $r_0 = 0.1$ см и $k = 10^5$ см⁻¹ имеем $R_f \approx 25$ нм. На рис.2 представлена зависимость F_z от безразмерной координаты $x = zf$ для различных значений R и приведенных выше параметров.

В отсутствие фокусировки пучка (при $f \rightarrow \infty$) из (1) следует выражение

$$F_z = e_z \frac{2F_0}{[1 + (z/z_d)^2]^2} \left\{ \frac{2}{3} k^4 \alpha [1 + (z/z_d)^2] - \frac{z}{z_d} \right\}, \quad (4)$$

которое может быть также получено из соответствующих формул работы [16]. Очевидно, что в этом случае вследствие дифракционного расплывания пучка при $\alpha > 0$ продольная компонента градиентной силы $F_{\nabla z} \propto z/z_d^2$ и сила рассеяния $F_{\text{scat}} \propto \alpha$ всегда противоположно направлены. Критический радиус наносферы при этом определяется соотношением

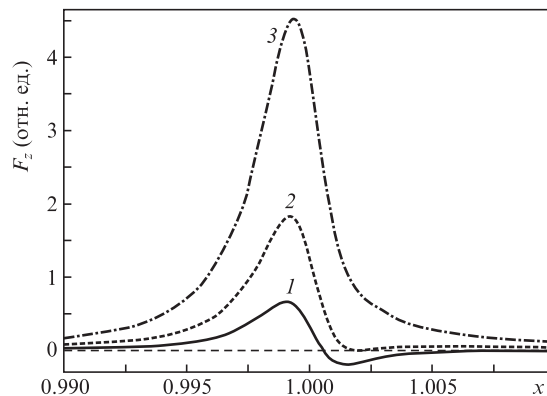


Рис.2. Зависимости результирующей силы F_z от нормированной координаты $x = zf$ для $R = 20$ (1), 25 (2) и 30 нм (3).

$$R_\infty = \sqrt[3]{\frac{3}{4k^4 z_d \alpha_0}}. \quad (5)$$

Для приведенных выше параметров

$$\frac{R_f}{R_\infty} = \sqrt[3]{1 + (z_d/f)^2} \approx 10^2.$$

Таким образом, в отсутствие фокусировки условие $F_z \leq 0$ может быть достигнуто для наносфер очень малых размеров.

3. Движение наносферы и эффекты ее локализации

Уравнение Ланжевена для наносферы под действием силы (1) имеет вид

$$m \frac{d^2 z}{dt^2} + 6\pi R \eta \frac{dz}{dt} = F_z, \quad (6)$$

где $m = 4\pi R^3 \rho / 3$ – масса наносферы из материала с плотностью ρ ; η – динамический коэффициент вязкости покоящейся жидкости, окружающей наносферу. Для анализа это уравнение с учетом выражения (1) удобно записать в виде

$$\frac{d^2 x}{dt^2} + \delta \frac{dx}{dt} = G_0 \frac{K[(1-x)^2 + (x/x_d)^2] + 2(1-x/x_w)}{[(1-x)^2 + (x/x_d)^2]^2}, \quad (7)$$

где $\delta = 9\eta / (2\rho R^2)$ – коэффициент трения; $G_0 = n\alpha_0 I_0 / (2c\rho f^2)$; $x_d = z_d/f$; $x_w = (1 + 1/x_d^2)^{-1}$. В дальнейшем уравнение (7) в общем виде решается численными методами, а в случае его упрощения – аналитически.

3.1. Обсуждение результатов численного решения

На рис.3 представлены результаты численного решения уравнения (7) с нулевыми начальными условиями $x(t=0) = 0$ и $dx/dt|_{t=0} = 0$. Видно, что происходит локализация наносфер с радиусами $R \leq R_f = 25$ нм (кривые 1 и 2). При этом время достижения точки локализации наносферы с $R = 20$ нм примерно втрое больше, чем для наносферы с $R = 25$ нм. Хотя координаты точек локализации зависят от R (см. (2)), для заданных параметров в используемом на рис.3,а масштабе они практически совпадают и близки к координате точки фокуса линзы $x \approx 1$. При этом

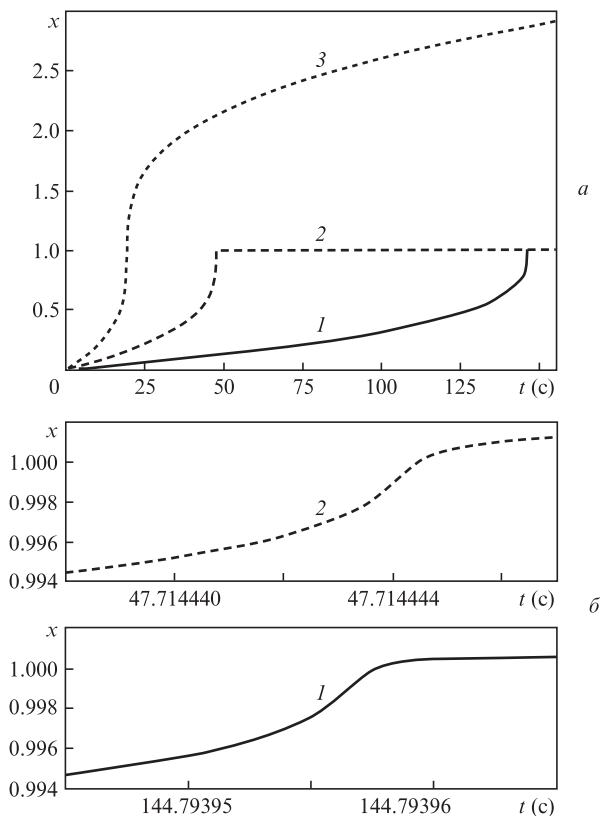


Рис.3. Временные зависимости координаты наносферы при $G_0 = 10^5$ для $R = 20$ (1), 25 (2) и 30 (3) нм.

наносфера с $R = 30$ нм $> R_f$ (кривая 3) после прохождения через эту точку продолжает движение со значительно меньшей скоростью вследствие уменьшения интенсивности расходящегося пучка и изменения направления продольной компоненты градиентной силы.

Из рис.3,а видно, что движение наносфер при подходе к точкам локализации происходит с возрастающей скоростью. Это очевидно не соответствует «быстроуму» уменьшению результирующей силы в области $x \approx 1$ (см. рис.2). Такое кажущееся несоответствие обусловлено относительно «грубым» масштабом рис.3,а. Скорость наносферы при подходе к точке локализации стремится к нулю на малых расстояниях и за малые интервалы времени, что в масштабе рис.3,а остается практически незаметным. Процесс монотонного снижения скорости наносфер иллюстрирует дополнительный рис.3,б, на котором приведены кривые 1 и 2 в масштабе с существенно большим пространственно-временным разрешением.

Критерием устойчивой локализации наносферы вблизи точки $x \approx 1$ является значительное превышение потенциала градиентной силы F_v кинетической энергии ее теплового (броуновского) движения [3, 16]. В нашем случае этот критерий определяется условием

$$\frac{2\pi n}{c} \alpha_0 R^3 \frac{P}{\pi r^2} \geq 10k_B T, \tag{8}$$

где P – мощность излучения; $r = f/(kr_0)$ – радиус фокального пятна; k_B – постоянная Больцмана; T – температура окружающей жидкости. Используя экспериментальные данные работы [3], оценим минимальное значение радиуса наносферы R_{min} , при котором выполняется равенство (8). Авторы [3] в эксперименте использовали полистироло-

вые наносферы в воде ($\bar{n} = 1.24$ и соответственно $\alpha_0^{exp} = 0.15$) и аргоновый лазер ($\lambda = 514.5$ нм) с радиусом пучка излучения $r^{exp} = 0.29 \times 10^{-4}$ см. Для условий этого эксперимента минимальный радиус наносферы R_{min}^{exp} был оценен авторами [16] и составил 9.45 нм. Комбинируя равенство (8) с аналогичным равенством для параметров эксперимента [3], можно получить выражение

$$R_{min} = R_{min}^{exp} \sqrt[3]{\frac{\alpha_0^{exp}}{\alpha_0} \left(\frac{r}{r^{exp}}\right)^2}. \tag{9}$$

Для $k = 2\pi n/\lambda_0 = 1.62 \times 10^5$ см $^{-1}$, $r_0 = 0.1$ см, $f = 1$ см из (9) найдем $R_{min} \approx 16.9$ нм и соответственно $R_f = 24.5$ нм. Полученный нами наименьший радиус наносферы R_{min} оказался в 1.8 раза больше R_{min}^{exp} [16], что связано с различием поляризуемостей наносфер (α_0 и α_0^{exp}) и радиусов фокальных пятен пучка (r и r^{exp}). Таким образом, для заданной мощности накачки W^{exp} [3] локализация наносфер в нашем случае (в однопучковой ловушке) возможна, если их радиусы удовлетворяют условию 16.9 нм $\leq R \leq 24.5$ нм.

3.2. Анализ аналитического решения укороченного уравнения

Из рис.3 следует, что для заданных параметров средняя скорость движения наносфер $\langle v \rangle$ в области $x \leq 1$ оценивается значениями $10^{-1} - 10^{-2}$ см/с. Процесс установления скорости движения наносфер происходит за время $\tau \approx 1/\delta$, которое в нашем случае при $\eta = 10^{-2}$ П и $\rho = 1$ г/см 3 очень мало: $\tau = 10^{-10}$ с. За это время наносферы проходят расстояние $\Delta z \leq 10^{-11}$ см. При этом скорость движения наносфер «квазистатически отслеживает» изменения результирующей силы, и второй производной в (7) можно пренебречь. Полученное так называемое укороченное уравнение допускает разделение переменных, и, следовательно, при $x(t = 0) = 0$ его решение можно представить в виде следующего интеграла:

$$\frac{\delta}{G_0} \int_0^x \frac{[(1-x')^2 + (x'/x_d)^2] dx'}{K[(1-x')^2 + (x'/x_w)^2] + 2(1-x'/x_w)} = t. \tag{10}$$

Вычислив интеграл (10) и проведя несложные алгебраические преобразования, находим выражение

$$\frac{\delta}{G_0} [H(x) - H(0)] = t, \tag{11}$$

где

$$H(x) = A_0 W(x) + B_0 L(x) + U(x);$$

$$A_0 = \frac{4}{K^2} \left[1 - \frac{1}{x_w} \left(1 - \frac{2}{K^2 x_w} \right) \right]; \quad B_0 = \frac{4}{K^4 x_w};$$

$$L(x) = (2 + K) - 2 \left(K + \frac{1}{x_w} \right) x + \frac{K}{x_w} x^2;$$

$$U(x) = \frac{1}{K} \left[\left(1 - \frac{2}{K} + \frac{4}{K^2 x_w} \right) x - \left(1 - \frac{1}{K x_w} \right) x^2 + \frac{1}{3 x_w} x^3 \right].$$

Функция $W(x)$ в зависимости от значения параметра Γ (или R) определяется следующими соотношениями [17]:

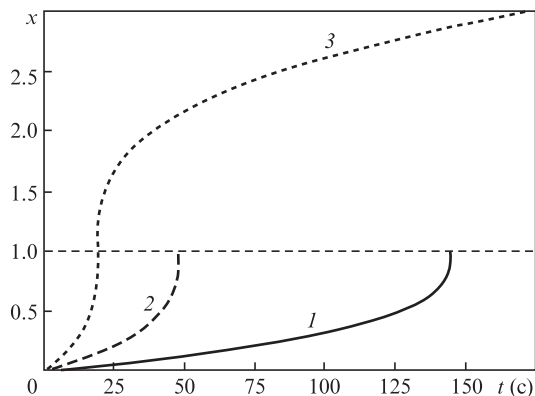


Рис.4. Временные зависимости координаты наносферы, рассчитанные по приближенной формуле (11) при тех же параметрах, что и для рис.3.

$$W(x) = x_w \times \begin{cases} -\frac{1}{\sqrt{1-\Gamma^2}} \operatorname{artanh} \frac{K(x-x_w)-1}{\sqrt{1-\Gamma^2}} & \text{при } \Gamma < 1 (R < R_f), \\ \frac{1}{K(x-x_w)-1} & \text{при } \Gamma = 1 (R = R_f), \\ \frac{1}{\sqrt{\Gamma^2-1}} \arctan \frac{K(x-x_w)-1}{\sqrt{\Gamma^2-1}} & \text{при } \Gamma > 1 (R > R_f). \end{cases}$$

На рис.4 приведены зависимости $x(t)$, рассчитанные по формуле (11) при тех же параметрах, что и для рис.3. Из сравнения кривых, изображенных на рис.3 и 4, видно, что они полностью совпадают. Таким образом, полученное укороченное уравнение, допускающее аналитическое решение, эквивалентно исходному уравнению (7). Следовательно, предлагаемый здесь прием упрощения исходного уравнения может быть использован в широкой области значений R для исследования аналитическими методами транспортировки и локализации прозрачных наносфер силами светового давления.

4. Заключение

На основе уравнения Ланжевена исследовано перемещение и локализация прозрачной наносферы результирующей силой светового давления в поле сфокусированного гауссова лазерного пучка. Из численного решения

этого уравнения получена временная зависимость координаты наносферы для различных значений ее радиуса. Показано, что для радиуса наносферы $R \leq R_f$ происходит ее локализация в точке $z \approx f$ вследствие компенсации силы рассеяния продольной составляющей градиентной силы ($F_{\text{scat}} + F_{\nabla z} = 0$). Приведен критерий устойчивой локализации наносфер в сфокусированном пучке излучения аргонового лазера и дана оценка необходимых значений их минимальных радиусов R_{min} .

Обосновано использование укороченного уравнения Ланжевена (при $d^2z/dt^2 = 0$), справедливость которого обусловлена «квазистатическим отслеживанием» скоростью наносферы изменения результирующей силы $F_z(z)$ в зависимости от координаты. Получено точное аналитическое решение укороченного уравнения движения и показано, что оно полностью совпадает с результатом численного решения исходного уравнения.

Авторы признательны А.Н.Рубинову за обсуждение полученных результатов.

1. Ashkin A. *Sci. Am.*, **226** (2), 63 (1972).
2. Эшкин А. *УФН*, **110** (1), 101 (1973).
3. Ashkin A., Dziedzic J.M., Bjorkholm J.E., Chu S. *Opt. Lett.*, **11**, 288 (1986).
4. Ashkin A., Dziedzic J.M., Yamane T. *Nature*, **330**, 769 (1987).
5. Ashkin A., Dziedzic J.M. *Science*, **235**, 1517 (1987).
6. Austin R.H., Brody J.P., Cox E.C., Duke T., Volkmuth W. *Phys. Today*, **50**, 32 (1997).
7. Goldman R.D., Spector D.L. (Eds) *Live Cell Imaging* (Cold Spring Harbor: CSHL Press, 2005).
8. Афанасьев А.А., Катаркевич В.М., Рубинов А.Н., Эфендиев Т.Ш. *ЖПС*, **69**, 675 (2002) [*J. Appl. Spectrosc.*, **69**, 782 (2002)].
9. Smith P.W., Ashkin A., Tomlinson W.J. *Opt. Lett.*, **6**, 284 (1981).
10. Афанасьев А.А., Рубинов А.Н., Михневич С.Ю., Ермолаев И.Е. *ЖЭТФ*, **128**, 451 (2005) [*J. Exp. Theor. Phys.*, **101**, 389 (2005)].
11. Афанасьев А.А., Рубинов А.Н., Михневич С.Ю., Ермолаев И.Е. *Оптика и спектроскопия*, **102**, 116 (2007) [*Opt. Spectrosc.*, **102**, 106 (2007)].
12. Бурханов И.С., Кривохижа С.В., Чайков Л.Л. *Квантовая электроника*, **46**, 548 (2016) [*Quantum Electron.*, **46**, 548 (2016)].
13. Burkhanov I.S., Krivokhizha S.V., Chaikov L.L. *Opt. Commun.*, **381**, 360 (2016).
14. Миногин В.Г., Летохов В.С. *Давление лазерного излучения на атомы* (М.: Наука, 1986).
15. Афанасьев А.А., Гайда Л.С., Гузатов Д.В., Рубинов А.Н., Свистун А.Ч. *Квантовая электроника*, **45**, 904 (2015) [*Quantum Electron.*, **45**, 904 (2015)].
16. Narada Y., Asakura T. *Opt. Commun.*, **124**, 529 (1996).
17. Градштейн И.С., Рыжик И.М. *Таблицы интегралов, сумм, рядов и произведений* (М.: Физматгиз, 1963).